УДК 621.317.795.2

Г.Н. Абрамов, Ю.Г. Абрамов

ПОВЫШЕНИЕ ЭФФЕКТИВНОСТИ НОНИУСНО-ИМПУЛЬСНЫХ ВРЕМЯ-ЦИФРОВЫХ ПРЕОБРАЗОВАТЕЛЕЙ

Абрамов Геннадий Николаевич, *доктор технических наук, профессор кафедры «Промышленная электроника» Тольяттинского государственного университета (ТГУ), Почетный работник высшего профессионального образования России. Имеет монографии, учебные пособия, патенты и научные публикации в области аналого-цифровых и цифро-аналоговых преобразований моноимпульсных электрических сигналов (МИЭС). [e-mail: yuran_a@mail.ru].*

Абрамов Юрий Геннадьевич, *магистр техники и технологии по направлению «Электронные приборы и устройства», окончил ТГУ, системный администратор ООО «Лабиринт Волга». Имеет научные публикации и патенты в области аналого-цифровых преобразований параметров МИЭС. [e-mail: yuran_a@mail.ru].*

Аннотация

Рассмотрены два способа, причем каждый из них выполнен в двух вариантах, уменьшения дополнительного времени преобразования в β (первые варианты) и 2β (вторые варианты) раза нониусно-импульсных время-цифровых преобразователей (ВЦП). В обоих способах процесс преобразования организован по интерполяционной схеме, содержит шкалы преобразования «грубо», «точно» и «точнее» и два (стартовый и стоповый) рециркуляционных генератора. В ходе интерполяционного преобразования вначале счетно-импульсным способом «грубо» определяется целое число периодов следования $T_{\text{ст}}$, заполнивших длительность преобразуемого временного интервала (ВИ), стартового одно (в первых вариантах) или многофазного (во вторых вариантах) рециркуляционного генератора $РГ_{\text{ст}}$. Затем нониусно-импульсным способом – «точно», с дискретностью $\beta \times \tau < T_{\text{ст}}$, оцифровывается та часть преобразуемого ВИ, которая заключена между последним зафиксированным импульсом $РГ_{\text{ст}}$ и непосредственно концом преобразуемого ВИ. Далее способом прямого кодирования – «точнее», с дискретностью преобразования τ, кодируется ВИ, длительностью менее значения $\beta \times \tau$. При этом в обоих способах используется стоповый однофазный рециркуляционный генератор $РГ_{\text{сп}}$.

Аппаратурная реализация первого способа основана на применении однофазного $РГ_{\text{ст}}$ и отдельного модуля ВЦП прямого кодирования (ПК), который осуществляет только преобразование «точнее» и не участвует в преобразованиях «грубо» и «точно».

Во втором способе ВЦП ПК посредством своей многоотводной линии задержки вводится в $РГ_{\text{ст}}$, образуя многофазный генератор, который формирует однофазные шкалы отсчета «грубо», «точно» и многофазную шкалу «точнее». Такое решение обеспечивает в нем уменьшение в $\sqrt{2}$ значения нестабильности дискретности преобразования «точно» и «точнее». Применение многофазного $РГ_{\text{ст}}$ позволяет при этом устранить проблему сопряжения (стыковки) всех трех шкал преобразования.

Ключевые слова: нониусно-импульсные время-цифровые преобразователи, одно- и многофазные рециркуляционные генераторы, время-цифровые преобразователи прямого кодирования, счетно-импульсная последовательность, дискретность преобразования.

doi: 10.35752/1991-2927-2020-1-5-106-112

IMPROVED EFFICIENCY OF NONIUS-PULSE TIME-DIGITAL CONVERTERS

Gennadii Nikolaevich Abramov, *Doctor of Sciences in Engineering, Professor of the Department of Industrial Electronics of Togliatti State University (TlSU); Honored Worker of Higher Professional Education in Russia; an author of monographs, study guides, patents, and scientific publications in the field of analog-to-digital and digital-to-analogue conversions of monopulse electrical signals (MIES). e-mail: yuran_a@mail.ru.*
Iurii Gennadevich Abramov, *Master in Engineering and Technology of Electronic Devices and Hardware; graduated from Togliatti State University; a system administrator of Labyrinth Volga, LLC; an author of scientific publications and patents in the field of analog-to-digital conversions of MIES parameters. e-mail: yuran_a@mail.ru.*

Abstract
The article deals with two methods, both methods are implemented in two versions, reducing the additional conversion time to β (first options) and 2β (second options) times of non-pulse-time-to-digital converters (TDC). In both methods, the conversion process is organized according to the interpolation scheme, it contains the conversion scales “roughly”, “precisely” and “more precisely” and two (start and stop) recirculation generators. The whole number of follow-up periods T_{str} that filling the duration of the converted time interval (TI) of the start one (in the first cases) or multiphase (in the second cases) recirculation generator RG_{str} is initially “roughly” determined in the course of the interpolation conversion. Then the nonius-pulse method - “exactly”, with discreteness $\beta \times \tau < T_{str}$, digitizes that part of the converted TI, which is enclosed between the last recorded impulse of the RG_{str} and directly the end of the converted TI. Further, the direct encoding method - “more precisely”, with the discreteness of the conversion τ, encodes the TI, the duration is less than the value $\beta \times \tau$. Moreover, in both methods, a single-phase stop recirculation generator RG_{stp} is used. The hardware implementation of the first method is based on the use of a single-phase RG_{str} and a separate direct-coding (DC) module, which only performs the “more accurate” conversion and does not participate in the “rough” and “exactly” conversions. Whereas in the second method, the DC TDC, through its multi-tap delay line, is introduced directly into the RG_{st}, transforming it into a multiphase generator, which forms single-phase reading scales “roughly”, “exactly” and a multiphase scale “more precisely”, which ensures a decrease in $\sqrt{2}$ of the instability of the discreteness of the transformation “exactly” and “more precisely”. The use of multiphase RG_{str} makes it possible to eliminate the problem of pairing (docking) of all three conversion scales.

Key words: vernier-pulse time-to-digital converters, single- and multiphase recirculation generators, direct-coding analog-to-digital converters, pulse-counting sequence, conversion resolution.

Введение

В информационно-измерительных системах импульсной радиолокации и навигации, например комплексах ГЛОНАСС и GPS, медицинских радарах и лидарах, для преобразования временных интервалов (ВИ) длительностью t_x, заданных старт- и стоп-импульсами в код, с нано- и субнаносекундной дискретностью, необходимы время-цифровые преобразователи (ВЦП).

Отличительной особенностью ВЦП служит то, что в них дискретность преобразования находится в диапазоне от нескольких единиц наносекунд до десятков пикосекунд. Этим они разительно и отличаются от широко известных преобразователей время-код (ПВК), в которых дискретность преобразования превышает десятки наносекунд.

При этом в ВЦП временной диапазон возможных значений преобразуемых ВИ, обладает областью изменения $t_x \in \left[t_{x_{\min}} ; t_{x_{\max}}\right]$, где $t_{x_{\min}}$, $t_{x_{\max}}$ – соответственно наименьшее и наибольшее значение длительности преобразуемого ВИ.

Известные ВЦП по методам построения условно делятся на преобразователи прямого и нониусного кодирования.

ВЦП прямого кодирования (ПК) основаны на методе задержанных совпадений, который состоит в том, что старт-импульс, соответствующий началу преобразуемого ВИ, задерживается в калиброванной многоотводной линии задержки (МЛЗ) (цифровой или аналоговой) с дискретностью задержки между отводами, равной необходимой дискретности преобразования τ.

Одновременно в регистре памяти RG осуществляется временная фиксация (совпадений) задержанных старт-импульсов с отводов МЛЗ со стоп-импульсом.

Функция преобразования ВЦП ПК описывается выражением $t_x = i \cdot \tau$, где $i = 1, 2, 3 \ldots \beta$ – номер соответствующего отвода МЛЗ, старт-импульс с которого был

первым зафиксирован в RG, определяет и цифровой результат преобразования (ЦРП).

Преобразователи прямого кодирования обычно используются в составе интерполяционных («грубо-точных») ВЦП в качестве интерполятора – устройства преобразования «точно» [1–4].

Недостатком ВЦП ПК является большой объем аппаратурных затрат, существенно возрастающий с уменьшением дискретности преобразования.

Работа нониусно-импульсных ВЦП основана на применении двух счетно-импульсных последовательностей (СЧП): стартовой $f_{ст}(t)$ с периодом следования $T_{ст}$ и стоповой $f_{сп}(t)$ с периодом $T_{сп}$, где $T_{ст} = T$, а $T_{сп} = T - \tau$.

Причем при поступлении старт-импульса формируется стартовая, а стоп-импульса – стоповая СЧП. Путем подсчета числа периодов следования $n_{ст}$ и $n_{сп}$ соответственно, стартовой и стоповой СЧП, посредством двух счетчиков импульсов с момента начала их формирования и до момента выполнения условия $f_{ст}(t) = f_{сп}(t)$ можно далее определить ЦРП нониусно-импульсных ВЦП.

Особенностью нониусно-импульсных ВЦП является возможность их работы в двух режимах: первый – при $t_{x_{\min}} < T_{ст}$, а второй – при $t_{x_{\max}} > T_{ст}$. При этом при первом режиме функция преобразования имеет вид: $t_x = n_{ст}T_{ст} - n_{сп}T_{сп} = n_0 T + n_{сп}\tau$, (здесь $n_{ст} - n_{сп} = n_0$), а при втором – $t_x = n_{сп}\tau$, так как $n_{ст} = n_{сп}$.

Выполняя условие $T/\tau = (N+1)$, при первом режиме работы ЦРП описывается выражением $N_1 = (N+1)n_0 + n_{сп}$, тогда как во втором – $N_2 = n_{сп}$.

Нониусный метод позволяет создавать относительно простые и в то же время точные ВЦП, например, ВЦП 5370A компании «Hewlett-Packard», выполненный на элементах эмиттерно-связанной логики, которые обладают собственной задержкой в 1÷2 нс, обеспечивает дискретность преобразования $\tau = 20$ пс [2].

Недостатком нониусного метода является то, что для время-цифрового преобразования требуется длительный отрезок времени, который многократно превосходит по длительности сам преобразуемый ВИ, а также большое «мертвое время» преобразования, то есть то время, которое требуется после окончания одного и до начала следующего преобразуемого ВИ.

В настоящее время нониусно-импульсные ВЦП, обладающие дискретностью преобразования $\tau = 0{,}1$–$0{,}2$ нс, остаются востребованными в различных информационно-измерительных системах [2, 5].

Вместе с тем, несмотря на относительную простоту технической реализации, они обладают существенным недостатком, который состоит в низком быстродействии и большом мертвом времени преобразования. Известно, что нониусно- импульсные ВЦП имеют дополнительное время преобразования $T_{д.пр} = n_{сп}T_{сп}$ и дополнительное мертвое время преобразования $T_{д.м} = n_{сп}T_{сп} + T_в$, где $T_{сп}$ – период следования СЧП рециркуляционного генератора $РГ_{сп}$; $T_в$ – время, необходимое на вычисление общего ЦРП; $n_{сп}$ – число периодов СЧП $f_{сп}(t)$ с начала ее генерирования в $РГ_{сп}$ и до момента выполнения условия $f_{ст}(t) = f_{сп}(t)$, то есть до ее фазового совпадения с СЧП, формируемой $РГ_{сп}$.

Данное обстоятельство связано с растягиванием преобразуемого ВИ в процессе его кодирования $T_{сп}/\tau$ раз [2–5]. Как следует из приведенных значений $T_{д.пр}$ и $T_{д.м}$, повысить быстродействие и уменьшить мертвое время преобразования возможно двумя способами.

Первый заключается в снижении числа $n_{сп}$ периодов следования стоповой СЧП при условии обеспечения требуемой точности преобразования, а второй – в снижении самого периода $T_{сп}$ следования. Однако второй способ не позволяет обеспечить $T_{сп} < (2 \div 4)$ нс, что объясняется конечным значением быстродействия современных интегральных счетчиков импульсов, на которых возможно осуществить подсчет числа $n_{сп}$.

Ниже рассматривается возможность реализации первого способа уменьшения дополнительного времени преобразования (повышения быстродействия), который, учитывая взаимосвязь значений $T_{д.пр}$ и $T_{д.м}$, позволяет одновременно уменьшить и мертвое время преобразования.

В связи с вышесказанным, повышение эффективности нониусно-импульсных ВЦП в плане увеличения быстродействия и соответственно уменьшения мертвого времени преобразования является актуальной задачей.

Постановка задачи исследования

Известны способы и средства построения нониусно-импульсных ВЦП, которые обеспечивают повышение в два раза быстродействия и уменьшение мертвого времени преобразования более чем в два раза. В их основу положены известные способы рециркуляционно-нониусного преобразования [5]. Однако для решения многих научных и прикладных задач такой эффективности нониусно-импульсных ВЦП недостаточно.

Вместе с тем известны способы и соответствующие средства повышения эффективности временных параметров в β и 2β раза в рециркуляционно-нониусных ВЦП, в которых используются стартовый многофазный и стоповый однофазный рециркуляторы – устройства с запаздывающей положительной обратной связью и, соответственно, с многофазными и однофазными выходами [6].

В то же время в нониусно-импульсных ВЦП применяются стартовый и стоповый рециркуляционные генераторы ($РГ_{ст}$ и $РГ_{сп}$), представляющие собой устройства с запаздывающей отрицательной обратной связью [7].

Учитывая аналогичность процессов преобразования в рециркуляционно-нониусных и нониусно-импульсных ВЦП, авторами настоящей статьи осуществлена адаптация рециркуляционно-нониусного способа повышения

эффективности временных параметров и для повышения эффективности нониусно-импульсных ВЦП.

Результаты такого подхода излагаются ниже.

Как и в известных способах рециркуляционно-нониусного ВЦП, весь процесс преобразования нониусно-импульсных ВЦП предлагается осуществлять в виде трехступенчатого интерполяционного преобразования (ИП), которое имеет три шкалы преобразования: «грубо», «точно» и «точнее». В процессе первой ступени ИП счетно-импульсным способом определяется ЦРП «грубо», посредством подсчета числа импульсов стартового $РГ_{ст}$, период $T_{ст}$ следования импульсов которого устанавливается равным дискретности преобразования «грубо».

В процессе второй ступени ИП нониусно-импульсным способом с дискретностью преобразования, равной $\beta \times \tau < T_{ст}$, определяется ЦРП «точно», путем кодирования ВИ, заключенного между последним сосчитанным импульсом $РГ_{ст}$ и окончанием самого преобразуемого ВИ.

Далее в третьей ступени ИП посредством прямого кодирования, с дискретностью τ, фиксируется ЦРП «точнее», определяется ВИ, значение длительности которого меньше дискретности преобразования, равной $\beta \times \tau$.

При этом число разрядов выходного кода трехступенчатых нониусно-импульсных ВЦП, описывающих их общий ЦРП,

$$m = m_г + m_т + m_{тт}, \quad (1)$$

причем

$$m_г = \log_2(N_г + 1),\ m_т = \log_2(N_т + 1),\ m_{тт} = \log_2(N_{тт} + 1), \quad (2)$$

в то время как

$m = \log_2(N+1)$, а $N = t_{x.\max}/\tau$,

где $N_г$, $N_т$, $N_{тт}$ число уровней дискретизации преобразования «грубо», «точно» и «точнее» соответственно.

Выражение (1) с учетом (2) нетрудно привести к виду:

$$N = N_г(N_г+1)(N_{тт}+1) + N_т(N_{тт}+1) + N_{тт}.$$

Первый способ повышения эффективности нониусно-импульсных ПВК

Данный способ заключается в том, что повышение быстродействия и уменьшение дополнительных значений мертвого времени и времени преобразования в β и 2β раза достигаются (рис.1) использованием в них однофазных рециркуляционных генераторов $РГ_{ст}$ и $РГ_{сп}$ и отдельного модуля ВЦП ПК.

ЦРП $(n_{о.1} - 1)$ и $n_{сп.1} = n_{сп}/\beta$, соответственно «грубо» и «точно», в первом варианте способа и $(n_{о.1} - 1)$ и $n_{сп.1} = n_{сп}/2\beta$ – во втором варианте, обеспечиваются известным из [3] способом, а ЦРП «точнее» – отдельным модулем ВЦП ПК.

На входы $f_{ст.1}(t)$ и $f_{сп.1}$ модуля ВЦП ПК в первом варианте способа подаются соответственно стартовая $f_{ст.1}(t) = f(t + n_{ст.1}T)$ и стоповая $f_{сп.1}(t) = f(t + n_{сп.1}(T - \tau))$ СЧП, где периоды их следования соответственно равны $T = T_{ст}$ и $T - \tau = T_{сп}$. В то же время во втором варианте первого способа стартовая СЧП имеет вид: $f_{ст.1}(t) = f(t + n_{ст.1}(T + \tau))$, в то время как стоповая СЧП $f_{сп.1}(t)$ остается такой же, как и в первом варианте.

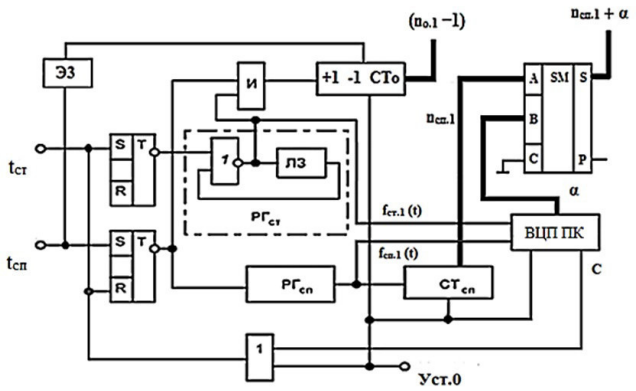

Рис. 1. Первый вариант нониусно-импульсных ВЦП с местным ВЦП ПК

Из стартовой СЧП $f_{ст.1}(t)$ МЛЗ модуля ВЦП ПК (рис. 2) с дискретностью τ формирует равномерную шкалу преобразования «точнее»:

$f_{ст.1i}(t) = f_{ст.1}(t) + i \cdot \tau$, где $i = 1, 2, 3 \ldots \beta$ – номер соответствующего отвода МЛЗ.

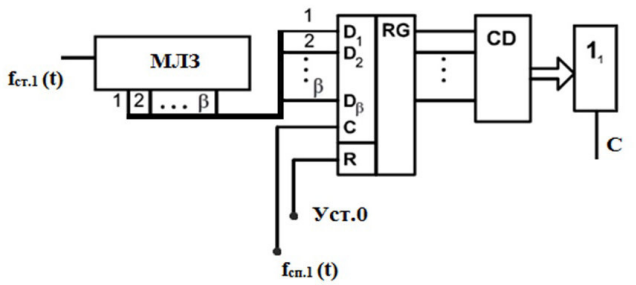

Рис. 2. Модуль ВЦП ПК

Модуль ВЦП ПК имеет число уровней дискретизации $N_{тт} = \beta$ и при выполнении условия $f_{ст.1i}(t) = f_{сп.1}(t)$ посредством регистра памяти RG фиксирует в виде унитарного кода α ЦРП «точнее», причем область изменения $\alpha \in [1;\ \beta = N_{тт}]$. Шифратор CD служит для преобразования кода α на выходе регистра памяти RG в $m_{тт}$-разрядный позиционный двоичный код (ПДК).

Таким образом, в рассматриваемом способе значение длительности преобразуемого ВИ при его первом варианте – $t_x = (n_0 - 1)T_{ст} + n_{сп.1} \cdot \tau + \alpha \cdot \tau$, а во втором варианте – $t_x = (n_0 - 1)T_{ст} + 2n_{сп.1} \cdot \tau + \alpha \cdot \tau$.

Выполняя условие $T_{\text{ст}}/\tau = (N_{\text{т}}+1)(N_{\text{тт}}+1)$, общий ЦРП в первом варианте способа –

$$N = (n_0 - 1)(N_{\text{т}}+1)(N_{\text{тт}}+1) + (n_{\text{сп.1}} + \alpha)\cdot\tau,$$

а во втором –

$$N = (n_0 - 1)(N_{\text{т}}+1)(N_E+1) + (2n_{\text{сп.1}} + \alpha)\cdot\tau.$$

При этом дополнительные время преобразования и мертвое время преобразования первого варианта способа, соответственно:

$$T_{\text{д.пр}} = n_{\text{сп.1}}\cdot T_{\text{сп}} = (n_{\text{сп}}/\beta)\cdot T_{\text{сп}},$$

$$T_{\text{д.м}} = (n_{\text{сп.1}}\cdot T_{\text{сп}}) + T_{\text{в}} = ((n_{\text{сп}}/\beta)\cdot T_{\text{сп}}) + T_{\text{в}}.$$

В то время как аналогичные временные величины во втором варианте способа будут иметь вид:

$$T_{\text{д.пр}} = n_{\text{сп.1}}\cdot T_{\text{сп}} = (n_{\text{сп}}/2\beta)\cdot T_{\text{сп}},$$

$$T_{\text{д.м}} = (n_{\text{сп.1}}\cdot T_{\text{сп}}) + T_{\text{в}} = ((n_{\text{сп}}/2\beta)\cdot T_{\text{сп}}) + T_{\text{в}}.$$

Таким образом, по сравнению с известным из [7] способом повышения эффективности нониусно-импульсных ВЦП в два раза, в рассмотренном способе (и его вариантах) она повышается в β и 2β раза.

Второй способ повышения эффективности нониусно-импульсных ПВК

В основу второго способа снижения дополнительного времени преобразования в β и 2β раза положены известные из [6] способы и средства, решающие аналогичные задачи в рециркуляционно-нониусных ВЦП, которые авторами данной статьи были адаптированы к решению задачи повышения временных параметров (эффективности) нониусно-импульсных ВЦП.

Однако если в известных способах и средствах формирования стартовой многофазной и стоповой однофазной СЧП осуществляется посредством, соответственно, стартового многофазного и стопового однофазного рециркуляторов, то в рассматриваемом ниже втором способе повышения эффективности нониусно-импульсных ВЦП применены стартовые многофазные $РГ_{\text{ст}}$ и стоповые однофазные $РГ_{\text{сп}}$.

Второй способ реализуется в двух вариантах исполнения.

В первом варианте (рис. 3) уменьшение дополнительных значений мертвого времени и времени преобразования в β раз (причем целое число $\beta > 2$) обеспечивается посредством генерирования, посредством многофазного $РГ_{\text{ст}}$, β-фазных стартовых СЧП $f_{\text{ст.1}i}(t) = f_{\text{ст.1}}(t) + i\cdot\tau$, где основная стартовая СЧП (рис. 3, диаграмма $РГ_{\text{ст}}$) $f_{\text{ст.1}}(t) = f(t + n_{\text{ст.1}}T)$, а $i = 2,3,4,\ \ldots\ \beta$ – номер соответствующей из многофазных СЧП (рис. 3, диаграммы 1–3, для наглядности $\beta = 3$). В то время как стоповая СЧП (рис. 3, диаграмма $РГ_{\text{сп}}$) генерируется в виде $f_{\text{сп.1}}(t) = f(t + n_{\text{сп.1}}(T - \beta\cdot\tau))$. ЦРП «грубо», равный $(n_{\text{о.1}} - 1)$, определяется известным из [5] способом за счет применения реверсивного счетчика импульсов и описывается $m_{\text{г}} = \log_2(N_{\text{г}}+1)$ разрядами ПДК.

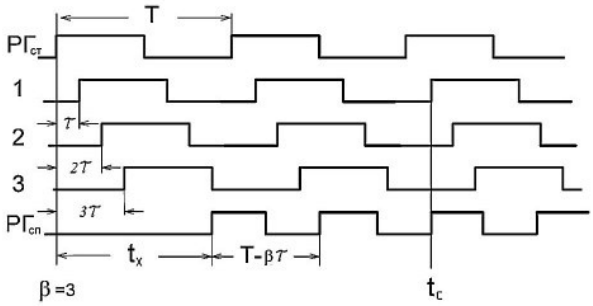

Рис. 3. Временные диаграммы, отображающие повышение эффективности нониусно-импульсных ВЦП в β раз

В то время как ЦРП «точно» и «точнее» определяются при выполнении условий, соответственно,

$$f_{\text{ст.1}}(t) = f_{\text{сп.1}}(t) \tag{3}$$

и

$$f_{\text{ст.1}i}(t) = f_{\text{сп.1}}(t), \tag{4}$$

как $n_{\text{т.1}} = n_{\text{сп.1}}$ и $n_{\text{тт.1}} = \eta_1$, и описываются $m_{\text{т}} = \log_2(N_{\text{т.1}}+1)$ и $m_{\text{тт}} = \log_2(N_{\text{тт.1}}+1)$ разрядами ПДК.

Таким образом, в момент времени $t_{\text{с}}$ (рис. 3) значение преобразуемого ВИ определяется

$$t_x = (n_{\text{о.1}} - 1)T + n_{\text{сп.1}}\cdot\beta\cdot\tau + \eta_1\cdot\tau,$$

где η_1 – номер той из многофазных СЧП, которая первая зафиксировала условие (4), имеет область изменения $\eta_1 \in [1;\ \beta]$.

Выполняя условие

$$(N_{\text{т}}+1) = T/\tau,$$

значение преобразуемого ВИ приводится к виду: $t_x = N_2\cdot\tau$, где общий ЦРП

$$N_2 = [(n_{\text{о.1}} - 1)(N_{\text{т}}+1) + n_{\text{сп.1}}\cdot\beta + \eta_1].$$

Во втором варианте второго способа повышения эффективности (уменьшения дополнительных значений мертвого времени и времени преобразования) в 2β раза, в отличие от его первого варианта, период следования основной стартовой СЧП (рис. 4, диаграмма $РГ_{\text{ст}}$) увеличивают на значение $\beta\cdot\tau$, то есть

$$f_{\text{ст.2}}(t) = f(t + n_{\text{ст.2}}(T + \beta\cdot\tau)),$$

а генерирования многофазных (β-фазных) стартовых СЧП осуществляют в виде:

$$f_{\text{ст.2}i}(t) = f_{\text{ст.2}}(t) + i\cdot\tau.$$

В то время как стоповая СЧП $f_{\text{сп.2}}(t)$ (рис. 4, диаграмма $РГ_{\text{сп}}$) генерируется в том же виде, что и в первом варианте, то есть $f_{\text{сп.2}}(t) = f(t + n_{\text{сп.1}}(T - \beta\cdot\tau))$.

В то же время ЦРП «грубо», равный $(n_{\text{о.2}} - 1)$, также устанавливается известным из [1] способом, а ЦРП «точно» и «точнее» определяются при выполнении условий, соответственно,

$$f_{\text{ст.2}}(t) = f_{\text{сп.2}}(t) \tag{5}$$

и

$$f_{\text{ст.2}i}(t) = f_{\text{сп.2}}(t), \tag{6}$$

как $n_{т.2} = n_{сп.2}$ и $n_{тт.2} = \eta_2$, и описываются $m_{т.2} = \log_2(N_{т.2}+1)$ и $m_{тт.2} = \log_2(N_{тт.2}+1)$ разрядами ПДК.

Таким образом, в момент времени t_c (рис. 4) значение преобразуемого ВИ представляется как

$$t_x = (n_{o.2}-1)(T_{ст}+\beta\cdot\tau)+2n_{сп.2}\cdot\beta\cdot\tau+\eta_2\cdot\tau,$$

где η_2 – номер той из многофазных СЧП, которая первая зафиксировала условия (5) и (6), имеет область изменения $\eta_2 \in [1;\ \beta]$.

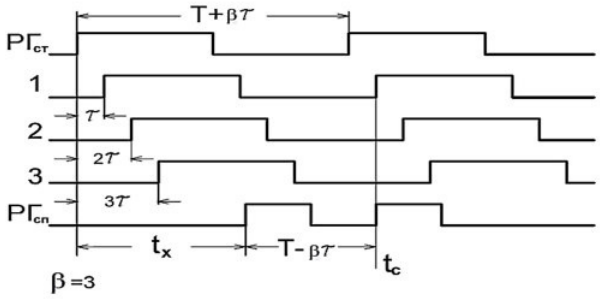

Рис. 4. Временные диаграммы, отображающие повышение эффективности нониусно-импульсных ВЦП в 2β раза

Выполняя условие (5 и 6), данное значение записывается в виде $t_x = N_2\cdot\tau$, где общий ЦРП второго варианта второго способа повышения эффективности временных параметров нониусно-импульсных ВЦП

$$N_2 = (n_{o.2}-1)(N_т+1)+(n_{o.2}-1)\beta+2n_{сп.2}\cdot\beta+\eta_2.$$

При этом дополнительные время преобразования и мертвое время преобразования второго способа описываются аналогичными выражениями, что и в первом способе.

Аппаратурная реализация рассмотренных вариантов повышения эффективности нониусно-импульсных ПВК

На рисунке 5 приведена функциональная схема, поясняющая техническую реализацию второго способа улучшения временных характеристик нониусно-импульсных ВЦП. Здесь калиброванная МЛЗ совместно с β – входным регистром памяти RG и шифратором CD образуют ВЦП прямого кодирования (рис. 2), который осуществляет фиксацию в ПДК значений η_1 или η_2.

При этом рециркуляционный генератор $РГ_{ст}$ выполняется с многофазными выходами, для чего его ЛЗ выполняется с β отводами (рис. 6), то есть представляет собой МЛЗ с дискретностью задержки между ними равной, дискретности преобразования τ, а сам $РГ_{ст}$ становится многофазным рециркуляционным генератором.

Сравнительный анализ погрешностей дискретности преобразования способов повышения эффективности нониусно-импульсных ВЦП

В предложенном выше первом способе нестабильность δ_τ дискретности преобразования «точно» ($\beta\cdot\tau$) и «точнее» (τ) определяется нестабильностями $\delta_{рг}$ и $\delta_{млз}$ времен задержки, соответственно ЛЗ $РГ_{ст}$ и МЛЗ модуля ВЦП ПК и описывается как

$$\delta_{\tau.1} = \sqrt{\left(\delta^2{}_{рг}+\delta^2{}_{млз}\right)}. \quad (7)$$

Допуская, что в выражении (7) $\delta_{рг} = \delta_{млз}$ нестабильность дискретности преобразования первого способа описывается выражением

$$\delta_{\tau.1} = \delta_{млз}\sqrt{2}. \quad (8)$$

Так как во втором способе ЛЗ $РГ_{ст}$ замещается МЛЗ модуля ВЦП ПК, то нестабильность его дискретности преобразования

$$\delta_{\tau.2} = \delta_{млз}. \quad (9)$$

Из сравнения выражений (8) и (9) следует, что второй способ имеет в $\sqrt{2}$ раз меньше значение нестабильности дискретности преобразования и, следовательно, выше точность преобразования.

Минимальное значение дополнительного времени преобразования рассмотренных способов

В общем случае дополнительное время преобразования для обоих способов можно описать равенством

$$T_{д.пр} = 2^{m-m_т-1}T_{сп},$$

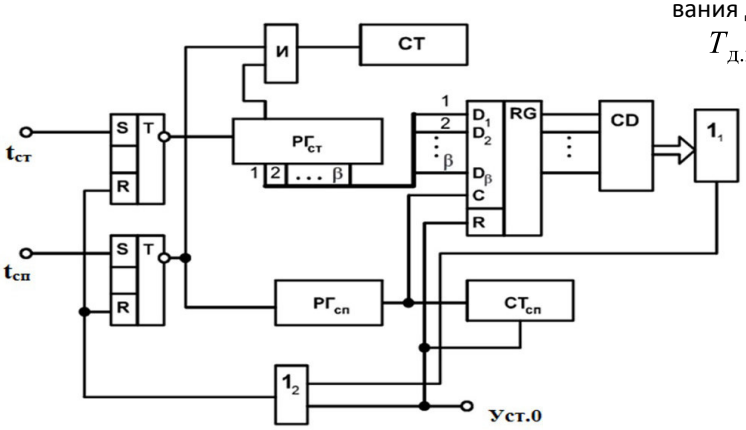

Рис. 5. Функциональная схема второго способа повышения эффективности нониусно-импульсных ВЦП в β и 2β раза

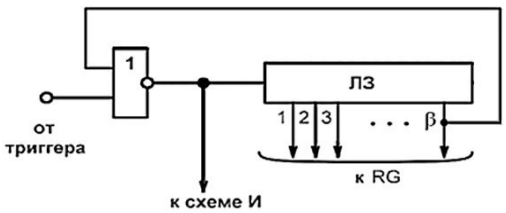

Рис. 6. Стартовый многофазный рециркуляционный генератор

в котором полагая $T_{\text{сп}} = T_{\text{ст}} - 2\tau \approx T_{\text{ст}}$, а $T_{\text{ст}} = t_{x.\max} / 2^{m_{\text{г}}}$.

$T_{\text{д.пр2}} = 2^{m_{\text{тт}}-1} t_{x.\max}$, что соответствует минимальному значению дополнительного времени преобразования для вторых вариантов обоих способов. В то время как для первых вариантов обоих способов данное выражение принимает вид:

$$T_{\text{д.пр1}} = 2^{m_{\text{тт}}} t_{x.\max}.$$

Обеспечивая условие (1) и допуская равномерное распределение числа разрядов общего ЦРП, то есть $m_{\text{г}} = m_{\text{т}} = m_{\text{тт}} = m/3$, выше приведенные выражения предстают в следующим виде:

$T_{\text{д.пр1}} = 2^{m/3} t_{x.\max}$ и $T_{\text{д.пр2}} = 2^{m/3-1} t_{x.\max}$.

Количественную оценку полученных величин можно получить исходя из требуемого по техническому заданию числа разрядов общего ЦРП, например, при $m = 12$ разрядам ПДК, $T_{\text{д.пр1}} = 16\ t_{x.\max}$ и $T_{\text{д.пр2}} = 8\ t_{x.\max}$.

Заключение

Первый способ повышения эффективности нониусно-импульсных ВЦП обеспечивается простым подключением модуля ВЦП ПК к уже существующим нониусно-импульсным ВЦП и (во втором его варианте) увеличением периода следования стартовой СЧП на значение дискретности преобразования. При этом второй способ имеет в $\sqrt{2}$ раз меньше значение нестабильности дискретности преобразования, чем первый и, следовательно, выше точность преобразования.

Предложенные варианты являются новой парадигмой в построении нониусно-импульсных ВЦП и позволяют обеспечить их конкуренцию с другими видами преобразования. Например, второй вариант повышения эффективности делает их в ряде случаев конкурентными с ВЦП типа TDC – GPX, TDC – GPXX и HP TDC X.X, выполненными по интерполяционному способу прямого «грубо – точного» и «грубо – точно – точнее» кодирования.

Рассмотренные способы и их варианты могут быть применены и для повышения быстродействия преобразования нониусно-импульсных ВЦП с двойной интерполяцией и генератором кварцевой частоты в качестве источника стартовой счетно-импульсной последовательности.

СПИСОК ЛИТЕРАТУРЫ

1. Измерение интервала времени с пикосекундным разрешением для системы «лазер-время-позиционно-чувствительный детектор излучения / У. Юсупалиев, Н.В Радомский, С.А. Шутеев, В.А. Коковин, П.У Юсупалиев // Прикладная физика. 2009. № 5. С. 113–118.

2. Чулков В.А. Интерполирующие устройства синхронизации и преобразователи информации. М. : Физматлит, 2010. 324 с.

3. Чулков В.А. Интерполирующие преобразователи время-код // Автометрия. 2008. № 6, т. 44. С. 116–127.

4. Карпеков Ю.Д., Киселев Ю.С., Сенько В.А. Быстродействующие многоканальные модули ВЦП пикосекундного разрешения с программируемыми параметрами : Препринт ИФВЭ 2011-20. Протвино, 2011. 24 с.

5. Мелешко Е.А. Быстродействующая импульсная электроника. М. : Физматлит, 2007. 320 с.

6. Пат. 2707380 Российская Федерация, МПК7 G 04F 10/04. Нониусный рециркуляционный преобразователь время-код повышенного быстродействия / Абрамов Г.Н. ; заявитель и патентообладатель Абрамов Г.Н. – № 2018145401/28 ; заявл. 19.12.2018 ; опубл. 26.11.2019, Бюл. № 33.

7. Абрамов Г.Н., Абрамов Ю.Г. Повышение качества временных параметров нониусно-импульсных время-цифровых преобразователей // Автоматизация процессов управления. 2016. № 1 (43). С. 106–111.

REFERENCES

1. Yusupaliev U., N.V Radomskii, S.A. Shuteev, V.A. Kokovin, P.U. Yusupaliev. Izmerenie intervala vremeni s pikosekundnym razresheniem dlia sistemy ‘lazer-vremia-pozitsionno-chuvstvitelnyi detektor izlucheniia [Measurement of Short Time Interval for the System ‘Laser-Time Position Sensitive Detector of Radiation’]. *Prikladnaia fizika* [Applied Physics], 2009, no. 5, pp. 113–118.

2. Chulkov V.A. *Interpoliruiushchie ustroistva sinkhronizatsii i preobrazovateli informatsii* [Interpolating Synchronization Units and Information Transducers]. Moscow, Fizmatlit Publ., 2010. 324 p.

3. Chulkov V.A. Interpoliruiushchie preobrazovateli vremiakod [Interpolating Time-to-Digital Converters]. *Avtometriia* [Optoelectronics, Instrumentation and Data Processing], 2008, no. 6, vol. 44, pp. 116–127.

4. Karpekov Iu.D., Kiselev Iu.S., Senko V.A. *Bystrodeistvuiushchie mnogokanalnye moduli VTsP pikosekundnogo razresheniia s programmiruemymi parametrami* [High-Speed Multichannels Modules TDC of Picosecond Resolution with Programmable Parameters]. IHEP Preprint 2011-20. Protvino, 2011. 24 p.

5. Meleshko E.A. *Bystrodeistvuiushchaia impulsnaia elektronika* [High-Speed Pulsed Electronics]. Moscow, Fizmatlit Publ., 2007. 320 p.

6. Russian Federation Patent No. 2707380 Rossiiskaia Federatsiia, MPK7 G 04F 10/04. *Noniusnyi retsirkuliatsionnyi preobrazovatel vremia-kod povyshennogo bystrodeistviia* [Turbo-Speed Vernier Recirculation Time-to-Digital Converters]. Inventor: G.N. Abramov; Applicant and Proprietor: G.N. Abramov. Application No. 2018145401/28. Date of filling: December 19, 2018. Date of publication: November 26, 2019. Bull. No. 33.

7. Abramov G.N., Abramov Iu.G. Povyshenie kachestva vremennykh parametrov noniusno-impulsnykh vremia-tsifrovykh preobrazovatelei [Improving the Quality of Time Parameters of Vernier-Pulse Time-Digital Converters]. *Avtomatizatsiia protsessov upravleniia* [Automation of Control Processes], 2016, no. 1 (43), pp. 106–111.